

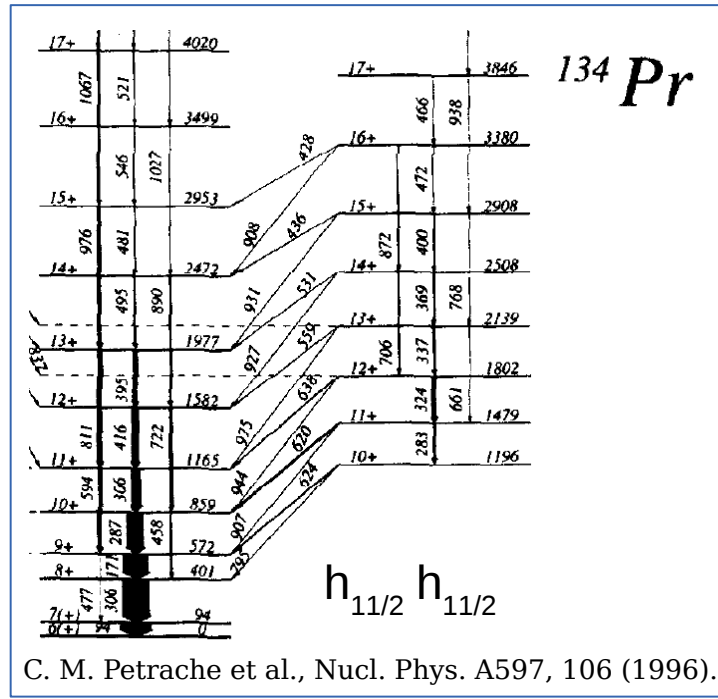
Többszörös kiralitás kimutatása a ^{104}Rh atommagban

Krakó Attila

HUN-REN ATOMKI, Pf. 51, 4001 Debrecen, Magyarország

Debreceni Egyetem, Fizikai Doktori Iskola, 4032 Debrecen, Egyetem tér 1, Magyarország

Kiralitás az atommagban



Nuclear Physics A 617 (1997) 131–147

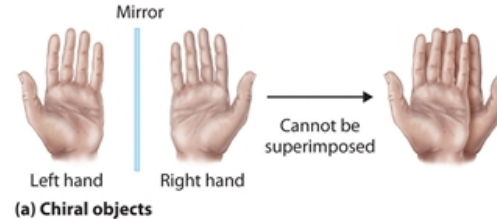
NUCLEAR
PHYSICS A

Tilted rotation of triaxial nuclei

S. Frauendorf, Jie Meng ¹

Institut für Kern- und Hadronenphysik, Forschungszentrum Rossendorf e.V.,
PF 510119, 01314 Dresden, Germany

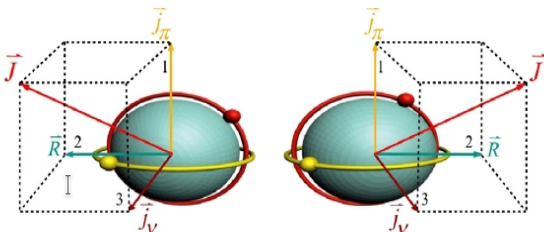
Received 14 November 1996



(a) Chiral objects

A kiralitás a háromtengelyűen deformált forgó atommagokban jelenik meg:

- $\Delta I=1$ degenerált párok
- Ugyanolyan konfiguráció
- Ugyanolyan paritás
- Hasonló elektromágneses tulajdonságok



Többszörös királis sávpárok

Possible existence of multiple chiral doublets in ^{106}Rh

J. Meng,^{1,2,3,*} J. Peng,¹ S. Q. Zhang,¹ and S.-G. Zhou^{2,3}

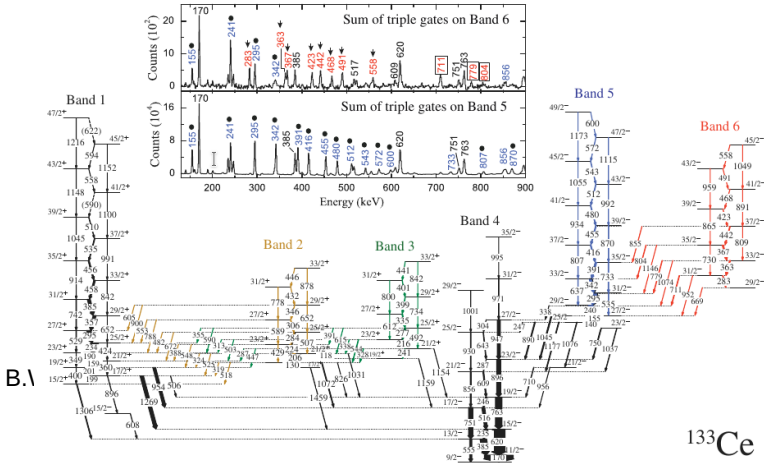
¹School of Physics, Peking University, Beijing 100871, China

²Institute of Theoretical Physics, Chinese Academy of Science, Beijing 100080, China

³Center of Theoretical Nuclear Physics, National Laboratory of Heavy Ion Accelerator, Lanzhou 730000, China

(Received 30 March 2005; published 15 March 2006)

Adiabatic and configuration-fixed constrained triaxial relativistic mean field (RMF) approaches are developed for the first time. A new phenomenon, the existence of multiple chiral doublets ($M \times D$), i.e., more than one pair of chiral doublet bands in one single nucleus, is suggested for ^{106}Rh based on the triaxial deformations and their corresponding proton and neutron configurations.



Evidence for Multiple Chiral Doublet Bands in ^{133}Ce

A. D. Ayanguekaa,¹ U. Garg,¹ M. D. Anthony,¹ S. Frauendorf,¹ J. T. Matta,¹ B. K. Nayak,^{1,*} D. Patel,¹ Q. B. Chen (陈启博),² S. Q. Zhang (张双全),² P. W. Zhao (赵鹏巍),² B. Qi (亓斌),³ J. Meng (孟杰),^{2,4,5} R. V. F. Janssens,⁶ M. P. Carpenter,⁶ C. J. Chiara,^{6,7} G. Kondey,⁸ T. Lauritsen,⁸ D. Seweryniak,⁸ S. Zhu,⁶ S. S. Ghugre,⁹ and R. Pati^{10,11}

¹Department of Physics, University of Notre Dame, Notre Dame, Indiana 46556, USA

²State Key Laboratory of Nuclear Physics and Technology, School of Physics, Peking University, Beijing 100871, China

³School of Space Science and Physics, Shandong University at Weihai, Weihai 264209, China

⁴School of Physics and Nuclear Energy Engineering, Beihang University, Beijing 100191, China

⁵Department of Physics, University of Stellenbosch, Matieland 7602, Stellenbosch, South Africa

⁶Physics Division, Argonne National Laboratory, Argonne, Illinois 60439, USA

⁷Department of Chemistry and Biochemistry, University of Maryland, College Park, Maryland 20742, USA

⁸Nuclear Engineering Division, Argonne National Laboratory, Argonne, Illinois 60439, USA

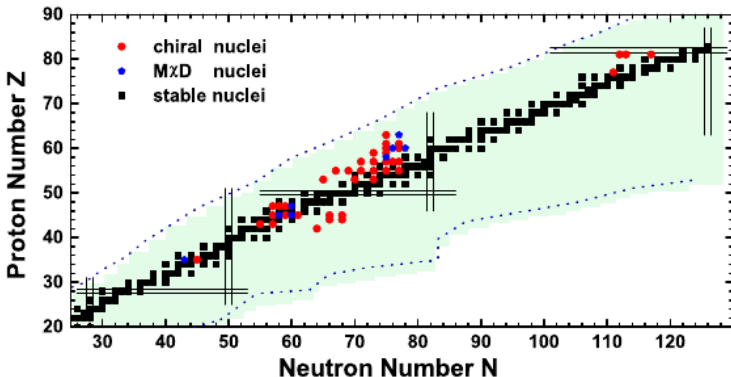
⁹UGC-DAE Consortium for Science Research, Kolkata 700 098, India

¹⁰Tata Institute of Fundamental Research, Mumbai 400 005, India

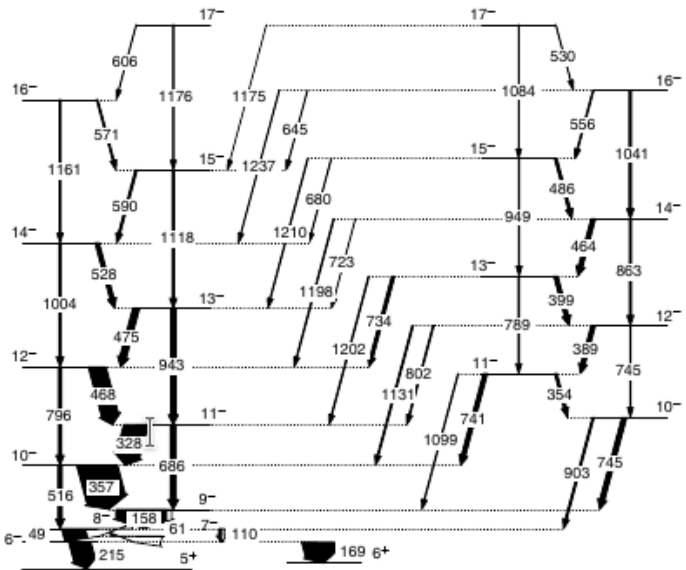
¹¹The Joint Institute for Nuclear Astrophysics, University of Notre Dame, Notre Dame, Indiana 46556, USA

(Received 31 January 2013; published 24 April 2013)

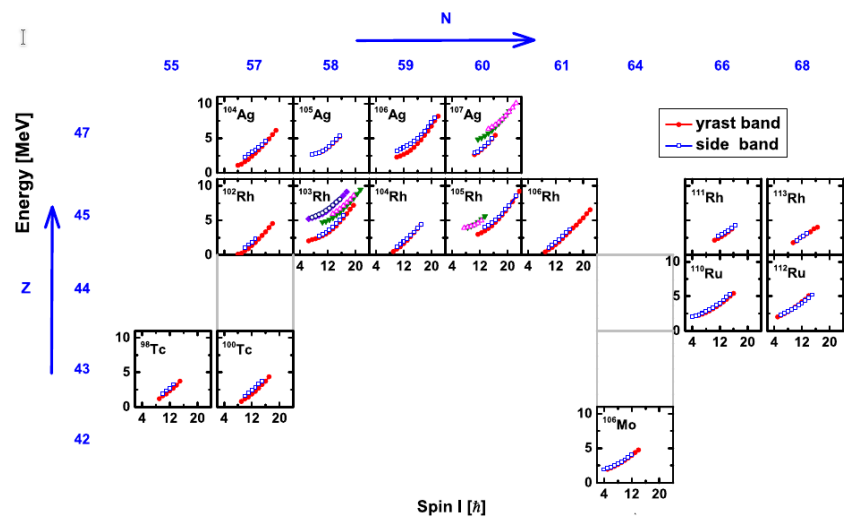
Two distinct sets of chiral partner bands have been identified in the nucleus ^{133}Ce . They constitute a multiple chiral doublet, a phenomenon predicted by relativistic mean field (RMF) calculations and observed experimentally here for the first time. The properties of these chiral bands are in good agreement with results of calculations based on a combination of the constrained triaxial RMF theory and the particle-rotor model.



Kiralitás az A~100 tömegszámtartományban



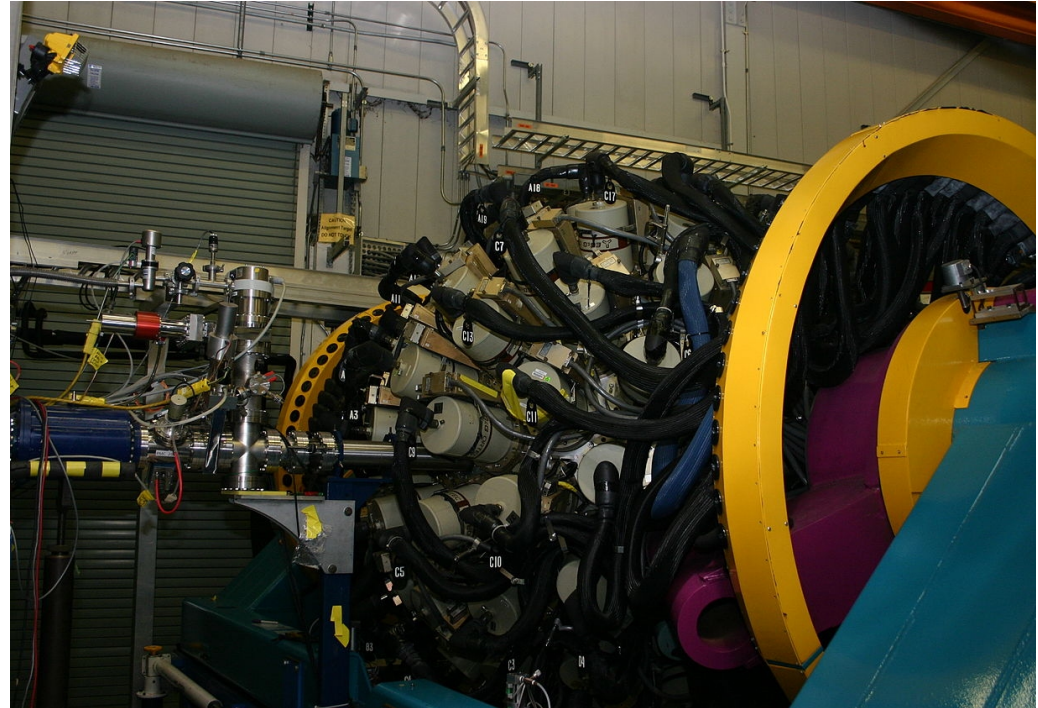
Vaman et al., Phys. Rev. Lett. 92 (2004)



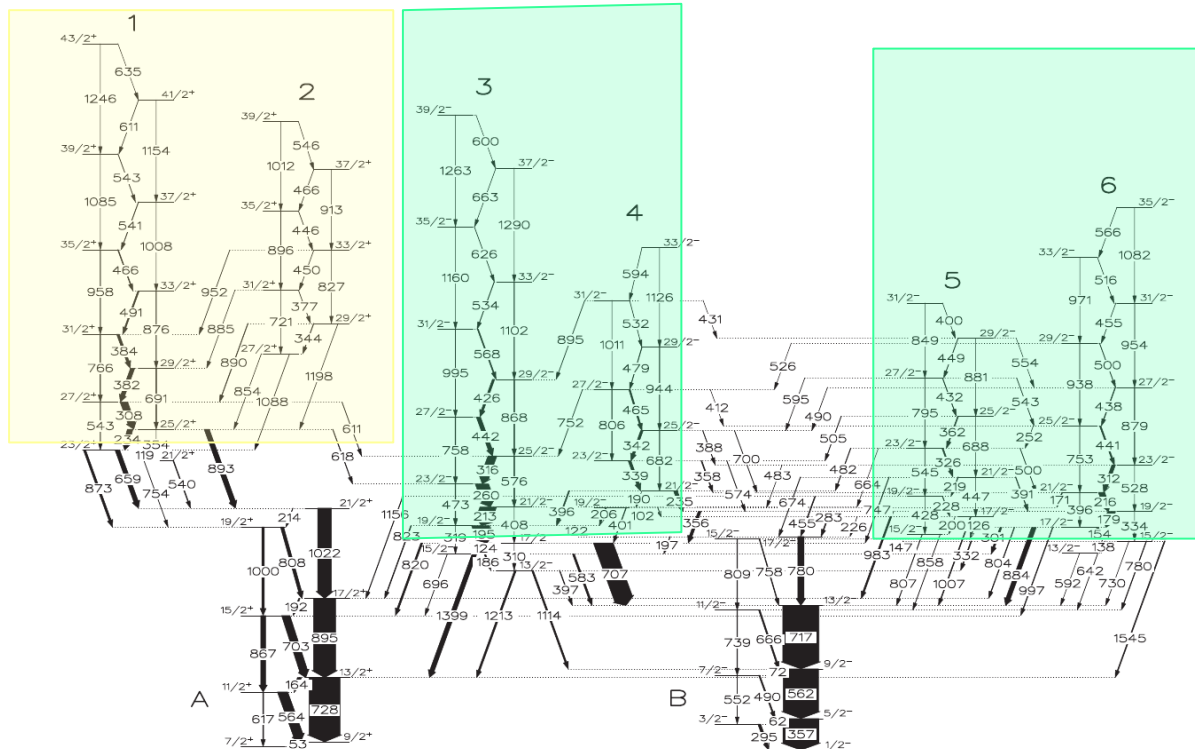
B.W. Xiong, Y.Y. Wang./Atomic Data and Nuclear Data Tables 125 (2019)

Kísérlet

- Nehéz-ion fúzió-evaporációs reakció: 40 MeV energiájú ^{11}B nyaláb ütközött ^{96}Zr céltárgyon
- Trigger: gggg-koincidencia, $\sim 9 \times 10^8$ esemény
- GAMMASPHERE: több mint 100 HPGe detektor gömbszerű szimmetriában elrendezve



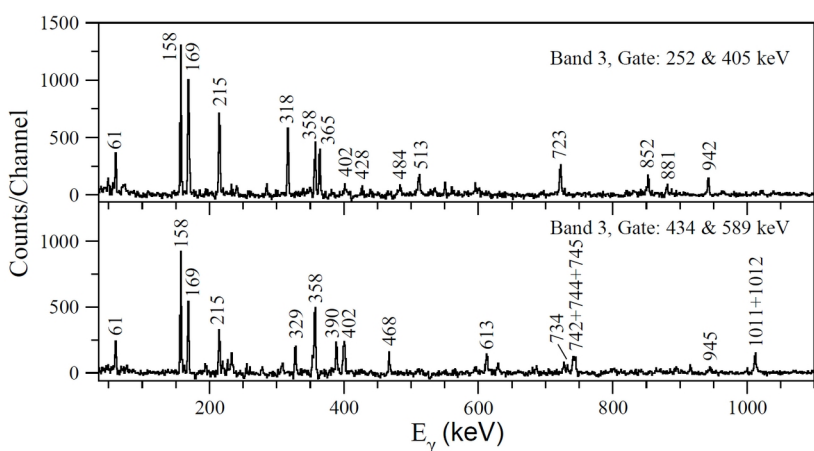
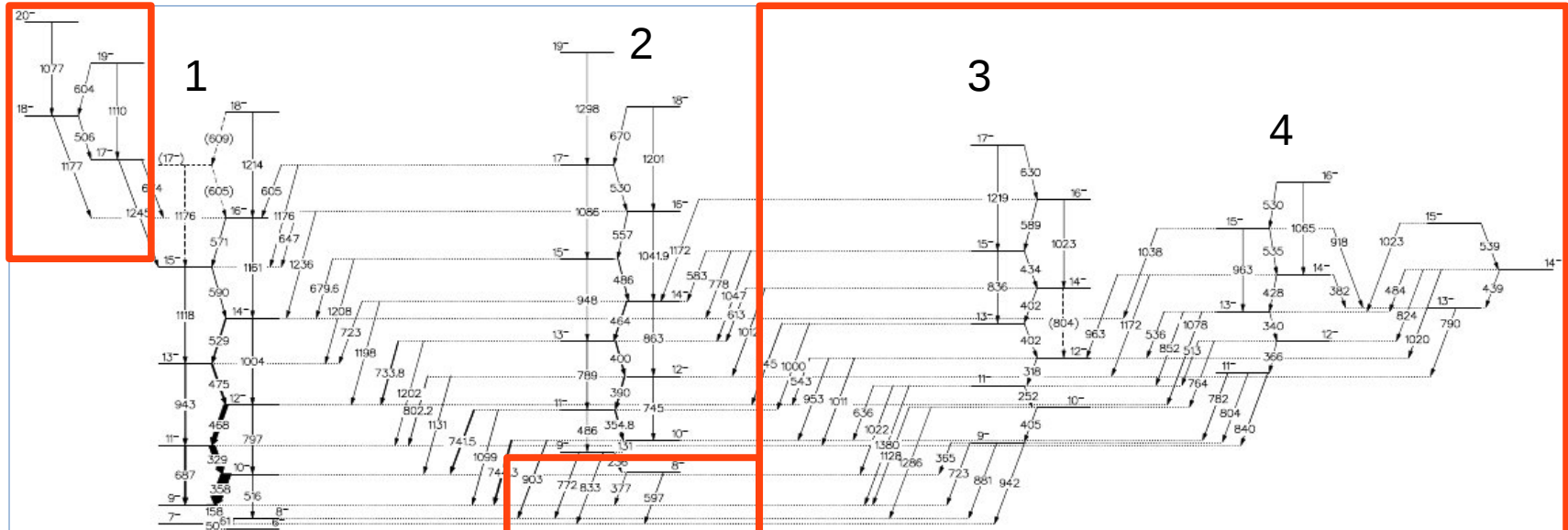
Többszörös kiralitás a ^{103}Rh atommagban



- A $\pi(1g_{9/2})^{-1} \otimes \nu(1h_{11/2})^2$ konfigurációhoz tartozó pozitív paritású királis sávpár
- A $\pi(1g_{9/2})^{-1} \otimes \nu(1h_{11/2})^1 (1g_{7/2})^1$ konfigurációhoz két negatív paritású királis sávpár tartozik

I. Kuti et al., PRL 113, 032501 (2014)

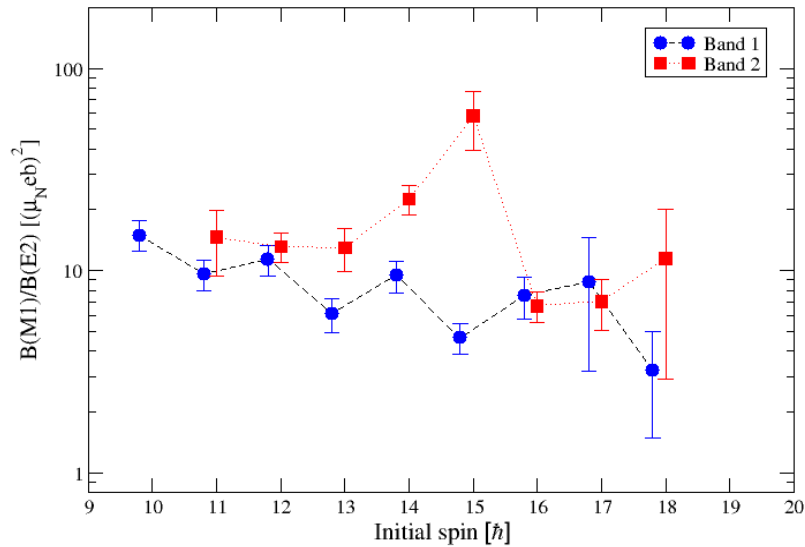
A ^{104}Rh atommag negatív paritású nívósémája



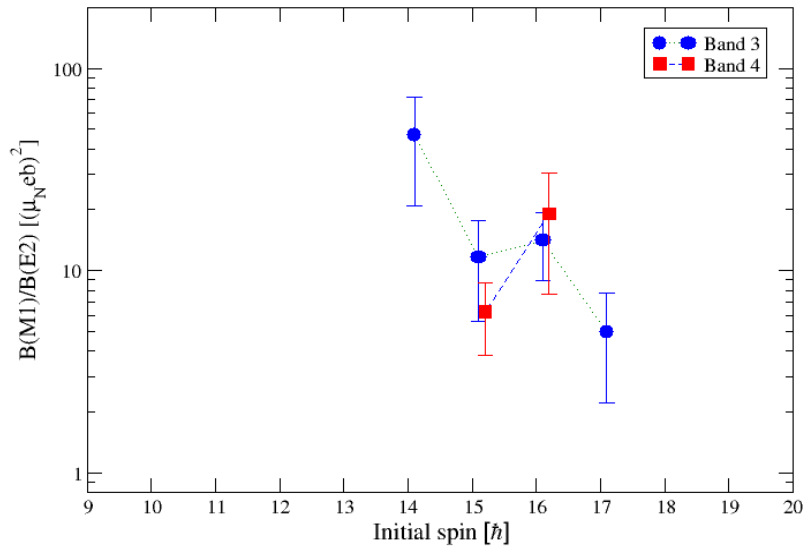
- A forgó állapotokat a γ -koincidenciák alapján határoztuk meg
- A spin-paritás értékeket DCO analízis segítségével határoztuk meg

Kísérleti B(M1)/B(E2) arányok

B(M1)/B(E2) arányok a 1 és 2

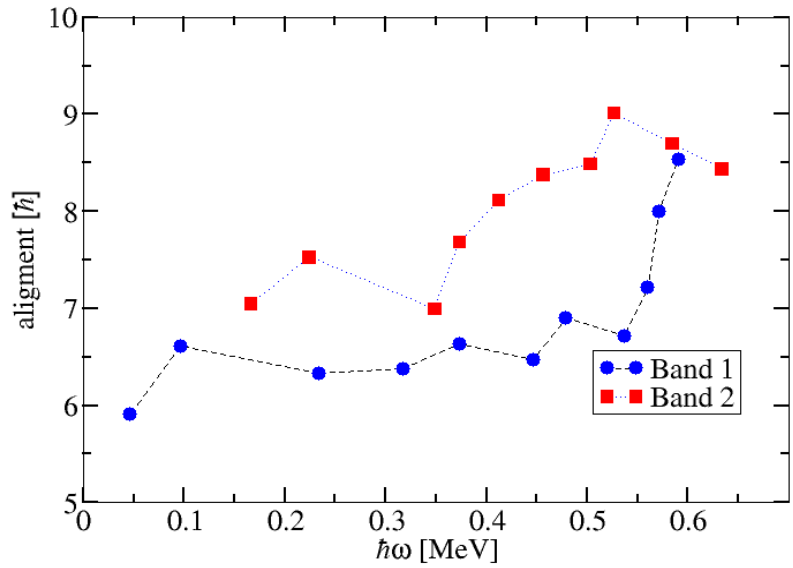


B(M1)/B(E2) arányok a 3 és 4

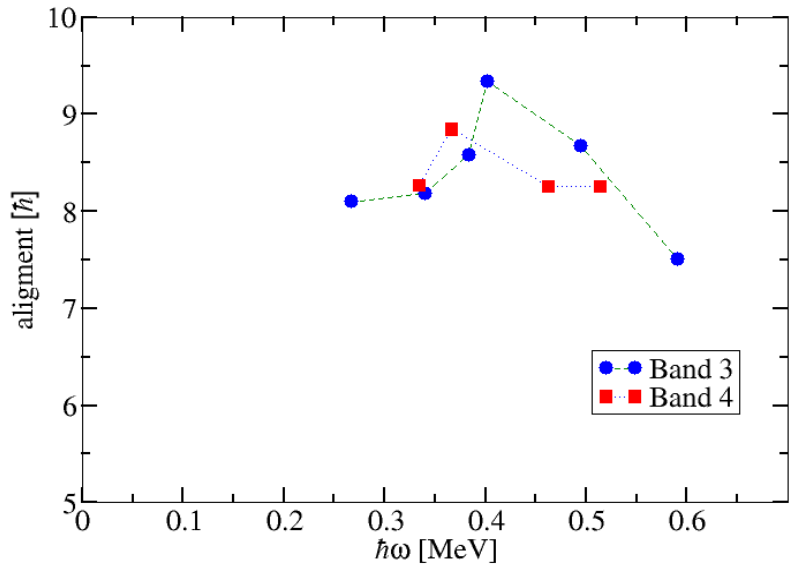


Kísérleti aligment értékek

Aligment értékek az 1-2 sávokra



Aligment értékek a 3-4 sávokra



Harris formula $\mathfrak{I} = \mathfrak{I}_0 + \mathfrak{I}_1\omega^2$, $\mathfrak{I}_0 = 8.9 \hbar^2/\text{MeV}$, $\mathfrak{I}_1 = 15.7 \hbar^4/\text{MeV}^3$
K=4 (K: a perdület szimmetriatengelyre vett vetülete a belső vonatkoztatási rendszerben)

Adiabatikus és konfiguráció rögzített relativisztikus átlagtér modell számítások

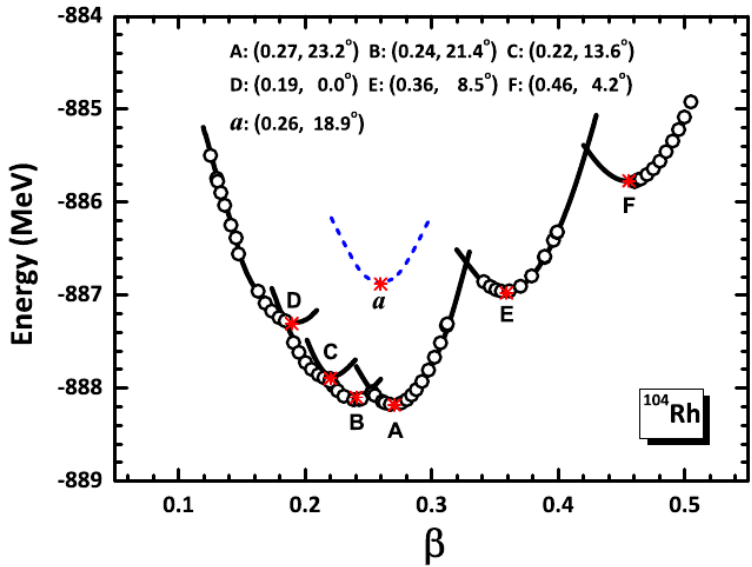
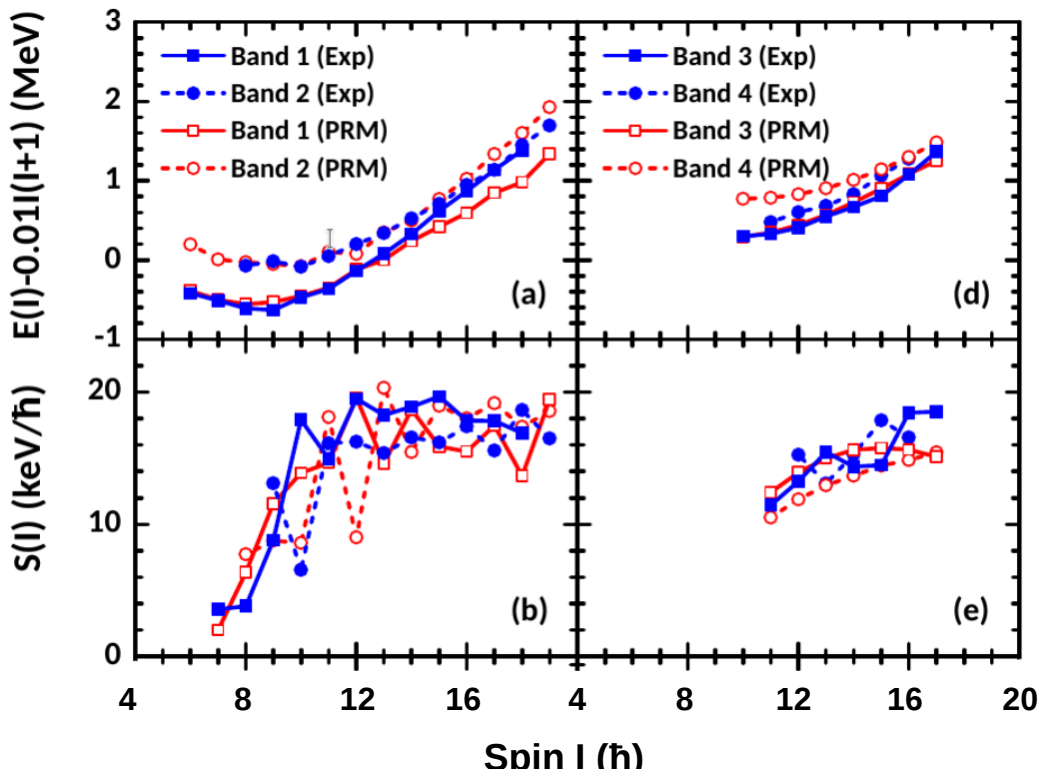


Table 1

The excitation energies E_x , deformation parameters β and γ , and their corresponding configurations (valence nucleon and unpaired nucleon) as well as the parities of minima for states A-F and α in the configuration-fixed constrained triaxial CDFT calculations.

State	E_x	(β, γ)	Unpaired configuration	π
A	0.00	(0.27, 23.2°)	$\pi(1g_{9/2})^{-1} \otimes v(1h_{11/2})^1$	-
B	0.08	(0.24, 21.4°)	$\pi(1g_{9/2})^{-1} \otimes v(1g_{7/2})^{-1}$	+
C	0.29	(0.22, 13.6°)	$\pi(2p_{1/2})^1 \otimes v(1g_{7/2})^{-1}$	-
D	0.87	(0.19, 0.0°)	$\pi(1g_{9/2})^1 \otimes v(1g_{7/2})^{-1}$	+
E	1.21	(0.36, 8.5°)	$\pi(1g_{7/2})^1 \otimes v(1h_{11/2})^1$	-
F	2.41	(0.46, 4.2°)	$\pi(2p_{3/2})^{-1} \otimes v(1g_{9/2})^{-1}$	-
α	1.30	(0.26, 18.9°)	$\pi(1g_{9/2})^{-1} \otimes v(1g_{7/2})^{-2}(1h_{11/2})^1$	-

Részecske rotor modell számolások



$$S(I) = [E(I) - E(I-1)]/2I$$

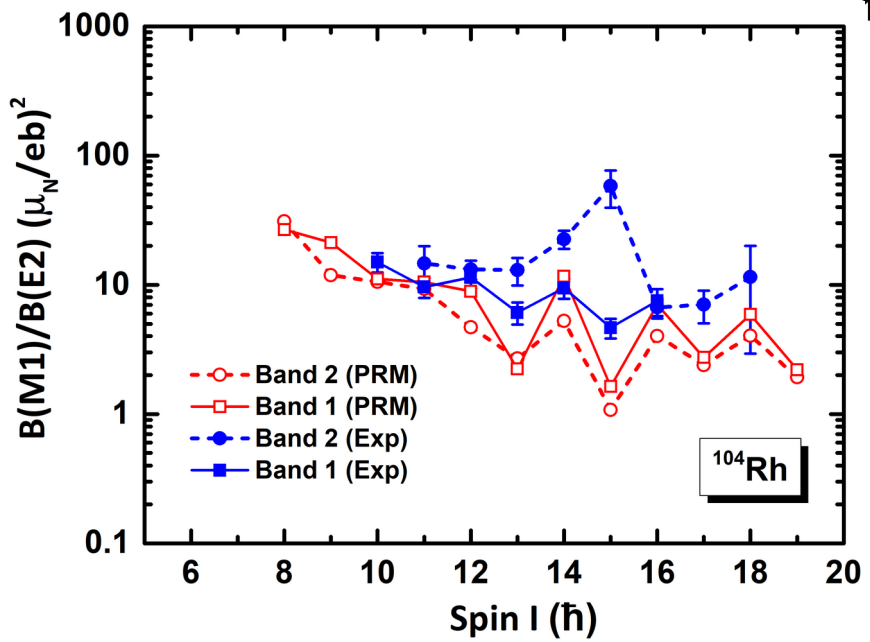
staggering paraméter

$\beta=0.27, \gamma=23.2^\circ$
 $\pi(1g_{9/2})^{-1} \otimes \nu(1h_{11/2})^1$
konfiguráció

$\beta=0.26, \gamma=18.9^\circ$
 $\pi(1g_{9/2})^{-1} \otimes \nu(1g_{7/2})^{-2} (1h_{11/2})^1$ konfiguráció

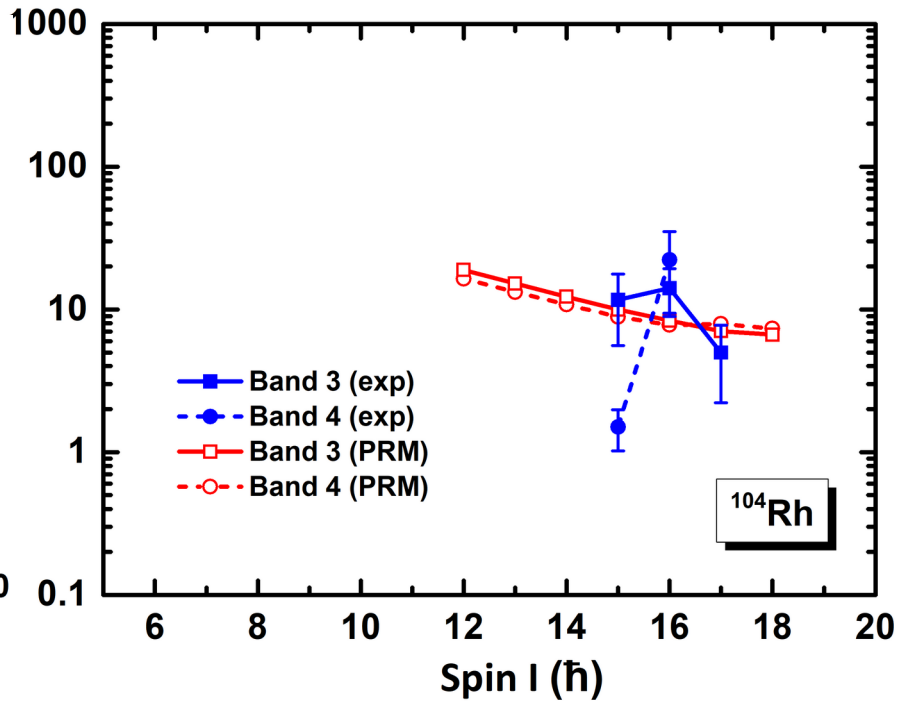
Elektromágneses tulajdonságok

B(M1)/B(E2) arányok az 1-2 sávokra



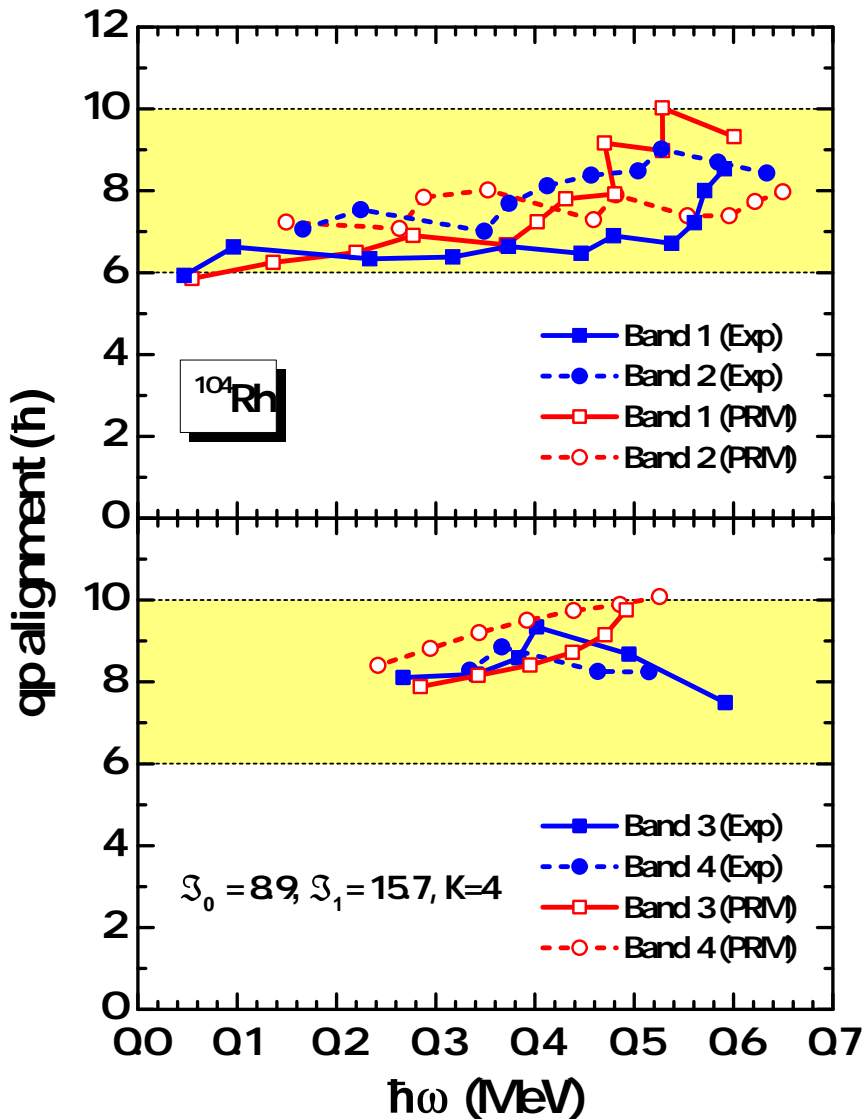
$$\beta=0.27, \gamma=23.2^\circ$$

B(M1)/B(E2) arányok a 3-4 sávokra



$$\beta=0.26, \gamma=18.9^\circ$$

Elméleti és kísérleti aligment értékek



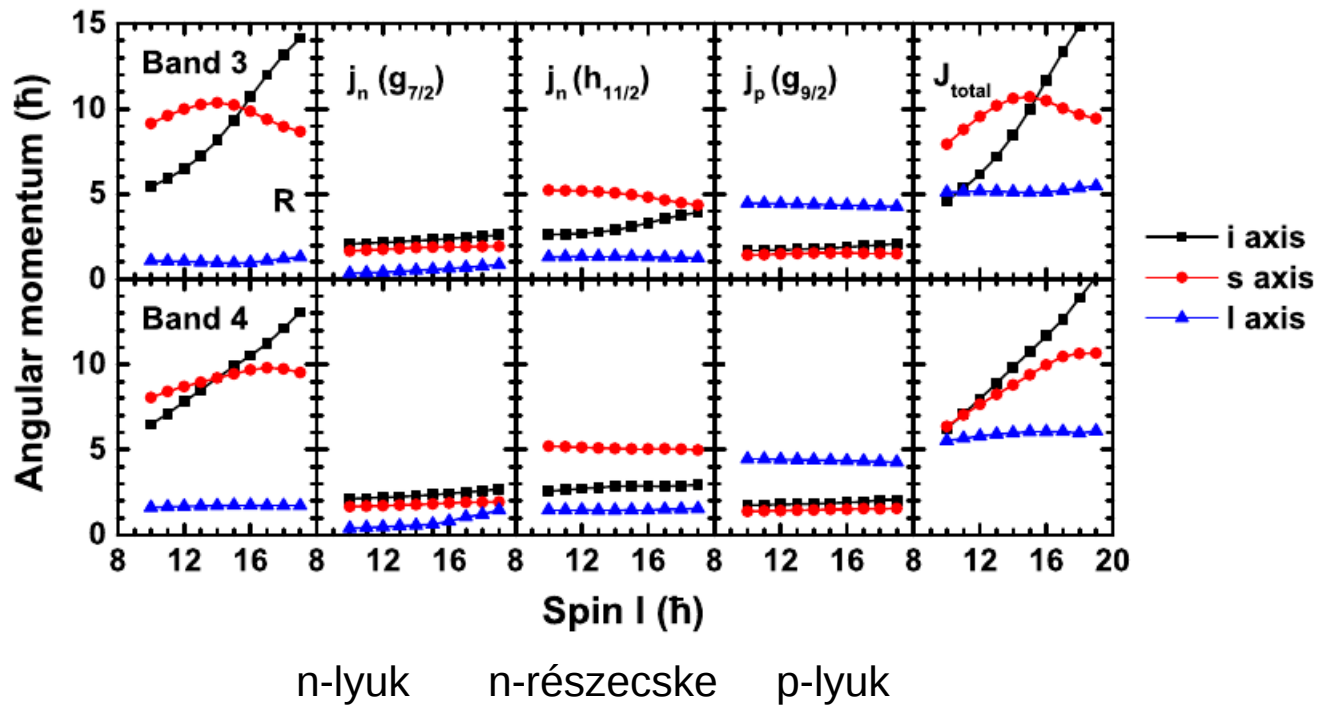
Az 1. és 2. sávok
 $\pi(1g_{9/2})^{-1} \otimes \nu(1h_{11/2})^1$ konfigurációval
rendelkeznek

$$\beta=0.27, \gamma=23.2^\circ$$

A 3. és 4. sávok
 $\pi(1g_{9/2})^{-1} \otimes \nu(1g_{7/2})^{-2} (1h_{11/2})^1$
konfigurációval rendelkeznek

$$\beta=0.26, \gamma=18.9^\circ$$

Perdület komponensek





Contents lists available at [ScienceDirect](#)

Physics Letters B

journal homepage: www.elsevier.com/locate/physletb



Letter

Multiple chiral doublet bands in ^{104}Rh



A. Krakó^{a,b}, D. Sohler^{a,}, J. Timár^a, I. Kuti^a, Q.B. Chen^c, S.Q. Zhang^d, J. Meng^d, K. Starosta^e, T. Koike^f, E.S. Paul^g, D.B. Fossan^{h,1}, C. Vaman^h

^a HUN-REN Institute for Nuclear Research, ATOMKI, Pf. 51, 4001 Debrecen, Hungary

^b University of Debrecen, Doctoral School of Physics, 4032 Debrecen, Egyetem tér 1, Hungary

^c Department of Physics, East China Normal University, Shanghai 200241, China

^d School of Physics and State Key Laboratory of Nuclear Physics and Technology, Peking University, Beijing 100871, China

^e Department of Chemistry, Simon Fraser University, Burnaby, British Columbia V5A 1S6, Canada

^f Department of Physics, Tohoku University, Sendai 980-8578, Japan

^g Department of Physics, University of Liverpool, Liverpool L69 7ZE, United Kingdom

^h Department of Physics and Astronomy, State University of New York, Stony Brook, NY, 11794-3800, USA